

## 6. Kommunikation in Zellularautomaten

In der Einführung wurde als eines der Motive für die Betrachtung der Zustandsänderungskomplexität die Möglichkeit genannt, damit gleichzeitig ein Maß für die zur Erkennung einer Sprache nötige "Kommunikation" zu erhalten. Unter "Kommunikation" wird hierbei einfach die Menge der in einem Zellularautomaten zwischen verschiedenen Blöcken ausgetauschten Information verstanden.

Anhand des im nächsten Abschnitt folgenden Beispiels läßt sich jedoch demonstrieren, daß diese Erwartung nur bedingt erfüllt wird. Die zwischen verschiedenen Blöcken eines Zellularautomaten transportierte Information ist nicht allein von der Anzahl der Zustandsänderungen, sondern auch von der "Art" der stattfindenden Kommunikation abhängig.

Wie sich auch zeigen wird, ist die Zustandsänderungskomplexität offenbar kein Maß für die zur Erkennung einer Sprache in den in Kapitel 6 definierten Pipeline-verarbeitenden Automaten benötigte Pipeline-Periode bzw. für die Anzahl der Zellen, die zum Erreichen einer Pipeline-Periode von 1 gebraucht werden.

Dazu wird ein einfaches Modell der Kommunikation in Zellularautomaten eingeführt, mit dem einige Eigenheiten zustandsänderungsbeschränkter ZA anschaulich erklärt werden können. Dabei wird in diesem Kapitel weitgehend auf formale Definitionen verzichtet, die verwendeten Begriffe wie zum Beispiel "Kommunikation", "Information" und "Effizienz" sind intuitiv zu verstehen.

### 6.1 Ein Beispiel

**Beispiel 6.1** Es sei  $L_{DD} := \{ (D_{\#}(u))^R XX D_{\#}(u) \mid u \in \{a,b\}^+ \}$  mit der Abbildung  $D_{\#}$  aus Definition 3.1. Die Sprache ähnelt in ihrer Struktur etwas der Sprache  $L_{RD}$  aus Definition 3.1; sie beruht ebenfalls auf der Palindromsprache  $L_R$  aus Beispiel 3.1, die durch Einfügen von #-Zeichen mit Hilfe der Abbildung  $D_{\#}$  "gestreckt" wird.

Dementsprechend wäre eigentlich zu erwarten, daß zur Erkennung von  $L_{DD}$  in einem ZA wenigstens  $O(\ln n)$  Zustandsänderungen pro Zelle benötigt werden; schließlich müssen in einem Wort  $w = (D_{\#}(u))^R XX D_{\#}(u)$ ,  $u \in \{a,b\}^+$  der Länge  $n$  die  $O(\ln n)$  Zeichen aus  $\{a,b\}$  im Teilwort  $D_{\#}(u)$  mit  $O(\ln n)$  Zeichen im vorderen Teilwort  $(D_{\#}(u))^R$  verglichen werden.

Erkennungsverfahren für  $L_{DD}$  mit  $O(\ln n)$  Zustandsänderungen lassen sich auch relativ einfach finden. Ein mögliches Verfahren wird in Abbildung 6.1 dargestellt und seine Funktionsweise hier erläutert:

Mit Hilfe des Verfahrens aus Beispiel 3.2 a) wird die Eingabe auf die Form  $(D_{\#}(u_1))^R XX D_{\#}(u_2)$  geprüft. Der Abschluß dieser Überprüfung wird durch die beiden e-Signale angezeigt.

Von jedem a bzw. b wird beim Eintreffen des von rechts kommenden e-Signals ein a- bzw. b-Signal mit Geschwindigkeit  $\frac{1}{2}$  nach links geschickt.



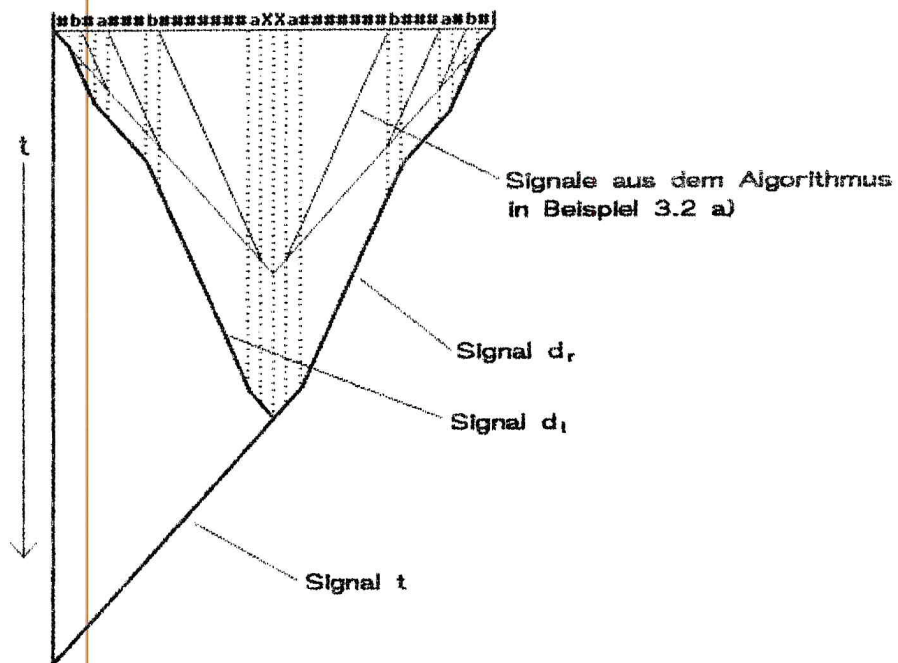
Die Anzahl der Verhaltensfolgeausschnitte in einem  $\rho$ -zustandsänderungsbeschränkten ZA mit  $\rho \in \mathbb{N}$  ist aber nach Lemma 3.1 und Lemma 3.4 gegeben durch

$$|A|^{\rho+1} \binom{\rho \cdot n}{\rho} = O(n^\rho).$$

Der Beweis, daß zur Erkennung von  $L_{DD}$  mindestens  $O(\ln n)$  Zustandsänderungen pro Zelle benötigt werden, scheitert also mit den in dieser Arbeit verwendeten Methoden. Unter Verwendung eines "geeigneteren" Verfahrens ist es auch tatsächlich möglich, die Sprache  $L_{DD}$  mit einer konstanten Anzahl von Zustandsänderungen pro Zelle zu erkennen.

Dieses Verfahren wird mit Hilfe der folgenden Zeichnung erläutert: anschließend wird anhand der Sprache  $L_{DD}$  im folgenden Abschnitt ein naives Modell des in zellularen Algorithmen stattfindenden Informationsaustausches vorgestellt. Auch wenn in diesem Modell die Vorgänge in einem Zellularautomaten stark vereinfacht dargestellt werden, so kann es doch das Verständnis der zustandsänderungsbeschränkten Zellularautomaten erleichtern.

**Abb. 6.2** Erkennung von  $L_{DD}$  mit  $O(1)$  Zustandsänderungen pro Zelle am Beispiel der Eingabe  $(D_{\#}(abab))^R XX D_{\#}(abab) = \#b\#a\#\#b\#\#\#\#\#\#aXXa\#\#\#\#\#b\#\#\#a\#b\#\#$



Funktionsweise: Mit Hilfe des Verfahrens aus Beispiel 3.2 a) wird die Eingabe auf die Form  $(D_{\#}(u_1))^R XX D_{\#}(u_2)$  mit  $u_1, u_2 \in \{a,b\}^+$  geprüft.

Gleichzeitig wird vom rechten Rand ein Signal  $d_r$ , vom linken Rand ein Signal  $d_l$  in die Mitte geschickt. Beide Signale beginnen mit der Geschwindigkeit 1; treffen sie auf ihrem Weg auf ein  $b$ , so werden sie auf die

Geschwindigkeit  $\frac{1}{2}$  verlangsamt, beim nächsten a wieder auf die Geschwindigkeit 1 beschleunigt. Treffen beide Signale zur gleichen Zeit in der Mitte des Eingabewortes ein, dann ist das Wort in der Sprache  $L_{DD}$ .

Zum besseren Verständnis des Algorithmus wird der Lauf des Signals  $d_r$  durch das rechte Teilwort  $D_{\#}(u_2)$  betrachtet. Ein solches Teilwort  $D_{\#}(u_2)$  mit  $|u_2| = k$  läßt sich in  $k$  Teilwörter  $w_{\nu}, 1 \leq \nu \leq k$  der Länge  $|w_{\nu}| = 2^{\nu-1}$  und ein #-Zeichen am rechten Rand aufteilen. Jedes  $w_{\nu}$  besteht dabei aus  $2^{\nu-1}-1$  #-Zeichen und einem Zeichen aus  $\{a,b\}$ . Im Beispiel  $u_2 = abab$  ergeben sich die  $w_{\nu}$  wie folgt:

$$D_{\#}(u_2) = a#####b####a\#b\# = w_1 w_4 w_3 w_2 \# \text{ mit } w_1 = a, w_2 = \#b, \\ w_3 = ###a \text{ und } w_4 = #####\#b.$$

Die Geschwindigkeit des Signals  $d_r$  wird in jedem Teilwort  $w_{\nu}$  allein durch das am rechten Rand von  $w_{\nu}$  stehende Zeichen aus  $\{a,b\}$  bestimmt. Ist dieses ein a, so durchquert  $d_r$  das Wort  $w_{\nu}$  mit der Geschwindigkeit 1. Handelt es sich um ein b, dann hat  $d_r$  in  $w_{\nu}$  die Geschwindigkeit  $\frac{1}{2}$ , das Signal wird also in  $w_{\nu}$  gegenüber dem ersten Fall um  $|w_{\nu}| = 2^{\nu-1}$  Zeiteinheiten verzögert. Die Gesamtverzögerung von  $d_r$  im Teilwort  $D_{\#}(u_2)$  gegenüber einem mit Einheitsgeschwindigkeit laufenden Signal ist die Binärzahl  $\beta$ , die sich ergibt, wenn man in  $u_2$  jedes a durch eine 0 und jedes b durch eine 1 ersetzt. Damit ist jedes Teilwort  $D_{\#}(u_2)$  eindeutig durch die Verzögerung  $\beta$  bestimmt.

Die Verzögerung des Signals  $d_l$  im vorderen Teilwort  $(D_{\#}(u_1))^R$  ergibt sich entsprechend als die Binärzahl, die man durch Ersetzen der a's und b's in  $u_1$  durch Nullen und Einsen erhält.

Beim Eingabewort  $(D_{\#}(abab))^R XX D_{\#}(abab)$  ergibt sich beispielsweise eine Verzögerung der Signale  $d_r$  und  $d_l$  um jeweils 5 Takte:

$$abab \longrightarrow 0101 \simeq 5.$$

Insgesamt wird mit dem vorgestellten Verfahren nur eine konstante Zahl von Zustandsänderungen pro Zelle benötigt.



Das Beispiel der Sprache  $L_{DD}$  läßt erkennen, daß sich unter Ausnutzung von zeitabhängiger Kommunikation unter Umständen geringere Zustandsänderungszahlen erreichen lassen als nur mit zustandsabhängiger Kommunikation. Dies läßt sich auch mit Hilfe der Abschätzungen aus Lemma 3.4 für die maximale Anzahl der Verhaltensfolgeausschnitte in einem  $\rho$ -zustandsänderungsbeschränkten ZA verdeutlichen :

In einem Zellularautomaten kann an jede Zelle Information nur über die Zustände ihrer Nachbarzellen übertragen werden. Daher ist die Information, die die  $v$ -te Zelle eines ZA von rechts bzw. links empfangen kann, abhängig von der Anzahl der möglichen Verhaltensfolgeausschnitte  $\langle c_o(v+1) \rangle$  bzw.  $\langle c_o(v-1) \rangle$ . Die Anzahl dieser Verhaltensfolgeausschnitte wird daher im folgenden als Maß für die in einem  $\rho$ -änderungsbeschränkten ZA mögliche Kommunikation betrachtet, sie ist nach Lemma 3.1 und Lemma 3.4 a) beschränkt durch

$$\binom{\tau(n)}{\rho(n)} |A|^{\rho(n)+1}$$

Dabei steht der erste Faktor für die Anzahl der Möglichkeiten, die  $\rho(n)$  Zeitpunkte auszuwählen, an denen Zustandswechsel stattfinden. Der zweite Faktor entspricht den Auswahlmöglichkeiten für den Anfangszustand und die  $\rho(n)$  neuen Zustände nach den Zustandswechseln. Damit liegt es nahe, den ersten Faktor als den von zeitabhängiger Kommunikation erzeugten Anteil anzusehen und den zweiten Faktor der zustandsabhängigen Kommunikation zuzuordnen.

Während der zustandsabhängige Anteil nur durch die Konstante  $|A|$  und die Zustandsänderungsbeschränkung  $\rho(n)$  bestimmt wird, ist der zeitabhängige Anteil auch noch von der Zeitbeschränkung  $\tau(n)$  abhängig; für den Fall der Beschränkung auf Realzeit ergibt er sich als

$$\binom{\tau(n)}{\rho(n)} = \binom{n}{\rho(n)} = O(n^{\rho(n)}) = O(|A|^{c \cdot \ln n \cdot \rho(n)}) \quad \text{mit } c = \frac{1}{\ln |A|},$$

gegenüber dem zustandsabhängigen Anteil

$$|A|^{\rho(n)+1} = O(|A|^{\rho(n)}).$$

In einem  $\rho$ -zustandsänderungsbeschränkten Zellularautomaten ließe sich demnach mit zeitabhängiger Kommunikation mehr Information übertragen als mit zustandsabhängiger. So ist zum Beispiel der zeitabhängige Anteil in einem  $O(1)$ -änderungsbeschränkten ZA von derselben Größenordnung wie der zustandsabhängige Anteil in einem  $O(\ln n)$ -änderungsbeschränkten ZA, diese Anschauung wird auch durch die beiden am Anfang des Kapitels vorgestellten Algorithmen für  $L_{DD}$  bestätigt.

Beschränkt man sich in einem  $O(1)$ -änderungsbeschränkten ZA auf zustandsabhängige Kommunikation, so werden offenbar nur reguläre Sprachen erkannt. Die gesamte Konstruktion der Sprachklassen mit Zustandsänderungskomplexitäten  $\ln_{(k)} n$ ,  $k > 1$  in Abschnitt 3.3 beruht in entscheidenden Bereichen auf der Verwendung zeitabhängiger Kommunikation, wie zum Beispiel bei der Erkennung von Wörtern der Struktur  $D_{\#}(w)$ . Vermutlich ist in Zellularautomaten mit Zustandsänderungszahlen kleiner  $O(\ln n)$  die zeitabhängige Kommunikation notwendig, um irgendwelche nichtregulären Sprachen zu erkennen.

Um für eine gegebene Sprache ein Verfahren mit möglichst wenigen Zustandsänderungen zu bekommen, wird man daher beim Entwurf dieses Verfahrens häufig Gebrauch von den Möglichkeiten der zeitabhängigen Kommunikation machen. Überträgt man aber dann den so entworfenen Algorithmus auf die in Kapitel 5 beschriebenen SZA in der Hoffnung, dadurch auch eine minimale oder wenigstens eine günstige Pipeline-Periode zu erhalten, so wird man in der Regel enttäuscht. Ein gutes Beispiel dafür ist die Erkennung der Sprache  $\{a^n b^n c^n \mid n \in \mathbb{N}\}$  in einem SUZA aus Beispiel 5.1.

Dort wird ein sehr einfaches,  $O(1)$ -änderungsbeschränktes Verfahren zur Erkennung von  $\{a^n b^n c^n \mid n \in \mathbb{N}\}$  auf einen SUZA übertragen, wobei man eine Pipeline-Periode von  $O(n)$  erhält. Mit einem anderen Algorithmus unter Verwendung von Zählern erhält man mit  $O(\ln n)$  Zustandsänderungen pro Zelle auch eine Pipeline-Periode von  $O(\ln n)$ . Der Grund dafür ist offensichtlich, daß das erste Verfahren auf zeitabhängiger, das zweite dagegen auf zustandsabhängiger Kommunikation beruht. Ein SZA kann aber zeitabhängige Kommunikation in der Regel nur mit einer Pipeline-Periode von  $O(n)$  durchführen.

Dies läßt sich auch mit der Anzahl der Verhaltensfolgeausschnitte  $\langle c_\rho(v) \rangle$  in einem SZA begründen. In einem  $\rho$ -SZA gibt es nicht mehr als

$$|A|^{\rho(n)+1}$$

solche Verhaltensausschnitte. Vergleicht man diesen Term mit dem entsprechenden Term eines  $\rho$ -änderungsbeschränkten Zellularautomaten, so stellt man fest, daß hier genau der zeitabhängige Anteil fehlt.

Die verschiedenen Erkennungsmächtigkeiten von änderungsbeschränkten UZA und SUZA sind anscheinend in erster Linie durch das Fehlen der zeitabhängigen Kommunikation in den SUZA bedingt; beim Vergleich der änderungsbeschränkten bidirektionalen ZA mit den SZA kommt noch hinzu, daß in SZA Informationen nur über geringe Entfernungen von links nach rechts übertragen werden können. In diesem Zusammenhang ist es nicht überraschend, daß zur Erkennung nichtregulärer Sprachen in SUZA und SZA eine Pipeline-Periode von  $O(\ln n)$  benötigt wird.

Ein Algorithmus mit einer kleinen Anzahl von Zustandsänderungen ist also nicht unbedingt günstig, um bei Übertragung auf SZA auch eine kleine Pipeline-Periode zu erreichen. Es kommt vielmehr auf die Art der im Algorithmus stattfindenden Kommunikation an, zeitabhängige Signale machen die Berechnung ziemlich "sperrig"; es werden dann mit dem Verfahren aus Abschnitt 5.4 mehr Zellen benötigt, um eine konstante Pipeline-Periode zu erreichen. Algorithmen, die auf der Verwendung zustandsabhängiger Kommunikation beruhen, sind dagegen "flexibler" auch insofern, als sich das Raum-Zeit-Diagramm einer solchen Berechnung in einem gewissen Rahmen verformen und verzerren läßt, ohne daß dadurch das "Timing" des Verfahrens durcheinandergerät. Ein gutes Beispiel für diese Eigenschaft ist die im nächsten Kapitel noch kurz angesprochene Superstabilität.

## 7. Weitere Ergebnisse und Möglichkeiten

Zum Schluß der Arbeit werden nun noch einige Bereiche behandelt, die in den vorangegangenen Kapiteln nur am Rande betrachtet wurden. Es werden Teilergebnisse angeben und noch offene Fragen vorgestellt.

### 7.1 Sum-zustandsänderungsbeschränkte Zellularautomaten

Einige der in dieser Arbeit bewiesenen Ergebnisse über max-änderungsbeschränkte ZA können recht einfach auf die hier bisher kaum betrachteten sum-änderungsbeschränkten Zellularautomaten übertragen werden. Dazu zählen insbesondere die in den Abschnitten 3.2 und 3.3 nachgewiesenen Hierarchien der Sprachklassen und die Abschlußeigenschaften bezüglich Spiegelbild aus Abschnitt 3.5.

Aus den Definitionen der max- und sum-Zustandsänderungsbeschränkung folgt unmittelbar, daß jeder  $p$ -max-änderungsbeschränkte ZA  $p \cdot n$ -sum-änderungsbeschränkt ist. In [Vo82b] wurde bewiesen, daß die Umkehrung nicht gilt. Trotzdem kann man mit den gleichen Sprachen, mit denen in Kapitel 3 die Hierarchie der max-änderungsbeschränkten ZA nachgewiesen wurde, eine ähnliche Hierarchie für die sum-änderungsbeschränkten ZA beweisen.

Die in Abschnitt 3.3 vorgestellten Algorithmen für  $L_{RQ(k)}$  und  $L_{RD(k)}$  benötigen  $O(n \cdot n^{\frac{1}{k}})$ - bzw.  $O(n \cdot \ln_{(k)} n)$  Zustandsänderungen im Gesamtautomaten. Um zu zeigen, daß diese Sprachen jeweils nicht mit einer wesentlich kleineren sum-Änderungszahl erkannt werden, bedient man sich eines Beweisschemas aus [Vo82a], mit dem dort gezeigt wird, daß die Sprache  $L_P = \{uYYu^R \mid u \in \{a,b\}^+\}$  nicht mit einer sum-Änderungsbeschränkung von  $O(n^{2-\epsilon})$  erkannt werden kann.

Auch die Abschlußeigenschaften bezüglich Spiegelbild können mit denselben Sprachen wie in Abschnitt 3.5 nachgewiesen werden. Dazu muß Satz 3.3 entsprechend an die sum-änderungsbeschränkten ZA angepaßt werden.

## 7.2 Unäre Sprachen

Unidirektionale SZA scheinen eine einfache Möglichkeit zu bieten, die von Zellularautomaten erkannten unären Sprachen, also Sprachen über einem einelementigen Alphabet, besser zu strukturieren und dadurch vielleicht einige offene Probleme in der Zeithierarchie der Zellularautomaten zu lösen oder wenigstens besser zu verstehen.

In [Se79] wurde bewiesen, daß unidirektionale Zellularautomaten nur die regulären unären Sprachen in Realzeit erkennen. In Linearzeit lassen sich aber auch einige nicht reguläre unäre Sprachen von UZA erkennen. So wurde in Beispiel 5.1 gezeigt, wie die Sprache  $\{a^{2^n} \mid n \in \mathbb{N}\}$  von einem  $O(\ln n)$ -SUZA erkannt werden kann. Es ist jedoch noch nicht bekannt, welche Zeitkomplexitäten zwischen den Mengen der in Realzeit und der in Linearzeit erkannten Sprachen es noch gibt.

Eine Sprache, die von einem  $\rho$ -SUZA erkannt werden kann, kann natürlich auch von einem UZA in der Zeit  $n+\rho(n)$  erkannt werden. Im Fall der unären Sprachen läßt sich aber auch die Umkehrung zeigen. Es gilt für unäre Sprachen

$$L \in \text{SUZA}(\rho) \Leftrightarrow L \in \text{UZA}_{n+\rho}.$$

Dieses Ergebnis ergibt sich aus der Tatsache, daß in einem Realzeit-UZA bei der Erkennung einer unären Sprache die eigentliche Berechnung von einem einzigen, vom rechten Rand kommenden Signal geleistet wird. Im Innern des oberen, linken Dreiecks des Raum-Zeit-Diagramms passiert also "nichts wesentliches", darauf beruht ja auch der Beweis dafür, daß in Realzeit-UZA nur reguläre Sprachen erkannt werden können. Ein SUZA ist aber genau ein UZA, in dem dieser Teil der Berechnung weggelassen wird.

Um zu zeigen, daß es Sprachen gibt, die von UZA in Linearzeit, aber nicht in der Zeit  $n+\ln n$  erkannt werden, reicht es daher aus, die Existenz einer unären Sprache aus  $\text{UZA}_{2n}$  zu zeigen, die von keinem  $O(\ln n)$ -SUZA erkannt werden kann. Also ist mindestens eine der folgenden Aussagen richtig:

Alle unären Sprachen aus  $\text{SUZA}(O(n))$  sind bereits in  $\text{SUZA}(O(\ln n))$

oder

es gilt  $\text{UZA}_R \subset \text{UZA}_{n+\ln n} \subset \text{UZA}_{2n}$ .

Aufgrund der Äquivalenz von SUZA und Pseudo-Realzeit-UZA können diese Fragen auch mit Hilfe der UZA und der die UZA charakterisierenden sequentiellen Maschinen untersucht werden.

Weitere offene Fragen zu den unären Sprachen, die sich im Zusammenhang mit dieser Arbeit stellen, sind unter anderem :

- Sind alle unären Sprachen aus  $\text{ZA}_R$  oder  $\text{ZA}_{2n}$  mit einer konstanten Anzahl von Zustandsänderungen erkennbar ?
- Kann man insbesondere die Sprache  $\{a^p \mid p \text{ prim}\}$  mit einer konstanten Anzahl von Zustandsänderungen pro Zelle oder mit Pipeline-Periode  $O(\ln n)$  erkennen ?
- Die Sprachen  $\{a^{2^{(k)}} \mid n \in \mathbb{N}\}$  lassen sich in einem  $O(\ln n)$ -SZA durch ein mit Binärzählern arbeitendes Verfahren erkennen, damit sind diese Sprachen in der Klasse  $\text{ZA}_{n+\ln n}$ . Sind diese Sprachen in Realzeit erkennbar ?

### 7.3 Superstabilität

Die im letzten Kapitel eingeführte Einteilung in zeit- und zustandsabhängige Kommunikation kann auch mit einem anderen, bekannten Problem in der Theorie der Polyautomaten veranschaulicht werden, nämlich der Frage nach der in [CGS86] untersuchten Superstabilität von Sprachen.

**Definition 7.1** a) Eine Sprache  $L \subseteq (VU\{\#\})^+$  heißt **superstabil**, wenn für alle  $w$  aus  $(VU\{\#\})^+$  gilt:  $w \in L \iff h_{\#}(w) \in L$ .

b) Es sei  $L \subseteq V^+$  und  $\# \notin V$ . Dann heißt

$$S_{\#}(L) := \{ w \in (VU\{\#\})^+ \mid h_{\#}(w) \in L \}$$

die zu  $L$  gehörende **superstabile Sprache**.

Eine superstabile Sprache ist also invariant gegenüber dem Einfügen von #-Zeichen. Ist  $w$  ein Wort aus einer superstabilen Sprache, so sind auch alle Wörter, die man durch Einfügen oder Löschen einer beliebigen Anzahl von # erhält, in der Sprache enthalten. In [CGS86] wurde gezeigt, daß die Menge  $UZA_R$  abgeschlossen bezüglich der Abbildung  $S_{\#}$  ist, für bidirektionale ZA ist diese Frage noch offen.

Versucht man, aus einem vorhandenen Algorithmus für eine Sprache  $L$  einen "superstabilen" Algorithmus für  $S_{\#}(L)$  zu machen, so stellt man fest, das dies für Algorithmen, die nur zustandsabhängige Kommunikation verwenden, wesentlich einfacher ist als für solche, die auf zeitabhängiger Kommunikation beruhen. Dies erklärt sich daraus, daß die durch eingefügte #-Zeichen hervorgerufenen längeren Laufzeiten der Signale das "Timing" der zeitabhängigen Kommunikation völlig durcheinanderbringen. Bei Algorithmen mit zustandsabhängiger Kommunikation macht das Einfügen von zusätzlichen #-Zeichen gegenüber der ursprünglichen Sprache  $L$  jedoch kaum einen Unterschied im Ablauf der Erkennung, da die Reihenfolge des Eintreffens der Signale in den Zellen ja gleich bleibt.

Die Frage nach der Abgeschlossenheit der Klasse  $ZA_R$  bezüglich  $S_{\#}$  ist also auch eine Frage nach den "Kosten" für einen Verzicht auf zeitabhängige Kommunikation.

Es ist auch noch nicht bekannt, ob die Sprachklassen der SZA und der änderungsbeschränkten ZA abgeschlossen bezüglich  $S_{\#}$  sind, dem betrachteten Modell zufolge sollte dies für  $\rho < O(n)$  jedoch höchstens für die Klassen  $SZA(\rho)$  und  $SUZA(\rho)$  möglich sein, nicht jedoch für die Sprachklassen der änderungsbeschränkten ZA.

## 8. Literaturverzeichnis

- [BuC84] W. Bucher, K. Culik II  
On real-time and linear-time cellular automata  
RAIRO informatique theorique, Vol. 18, No. 4 (1984), 307-325
- [Co69] S. N. Cole  
Real-time computation by n-dimensional iterative arrays of finite state machines  
IEEE Transactions on Computers, Vol. C-18, No. 4 (1969), 349-365
- [CGS84] K. Culik II, J. Gruska, A. Salomaa  
systolic trellis automata, part I  
Int. Journal of Computer Mathematics, Vol. 15, (1984), 195-212
- [CGS86] K. Culik II, J. Gruska, A. Salomaa  
Systolic trellis automata: Stability, decidability and complexity  
Information and Control, Vol. 71 (1986), 218-230
- [ChC85] C. Choffrut, K. Culik II  
On real-time cellular automata and trellis automata  
Acta Informatica, No. 21 (1984), 393-407
- [CIV88] J. H. Chang, O. H. Ibarra, A. Vergis  
On the power of one-way communication  
Journal of the ACM, Vol. 35, No. 3 (1988), 697-726
- [CSW84] K. Culik II, A. Salomaa, D. Wood  
Systolic tree acceptors  
RAIRO informatique theorique, Vol. 18, No. 1 (1984), 53-69
- [CuY84] K. Culik II, S. Yu  
Iterative tree automata  
Theoretical Computer Science, Vol. 32 (1984), 227-247
- [Gru84] J. Gruska  
Systolic automata - power, characterizations, nonhomogeneity  
Proc. of MFCS'84, Lecture Notes in Computer Science 233, 140-153
- [IbJ87] O. H. Ibarra, T. Jiang  
On one-way cellular arrays  
SIAM Journal of Computing, Vol. 16, No. 4 (1987), 1135-1154

- [IPK85] O. H. Ibarra, M. A. Palis, S. M. Kim  
Fast parallel language recognition by cellular automata  
Theoretical Computer Science, Vol. 41 (1985), 231-246
- [Se79] S. R. Seidel  
Language recognition and the synchronization of cellular automata  
Dissertation, Univ. of Iowa (1979)
- [SoW83] R. Sommerhalder, S. van Westrhenen  
Parallel language recognition in constant time by cellular automata  
Acta Informatica, Vol. 19 (1983), 397-407
- [Vo79] R. Vollmar  
Algorithmen in Zellularautomaten  
Teubner, Stuttgart (1979)
- [Vo81] R. Vollmar  
On cellular automata with a finite number of state changes  
Computing, Suppl. 3 (1981), 181-191
- [Vo82a] R. Vollmar  
Some remarks about the "efficiency" of polyautomata  
Int. Journal of Theoretical Physics, Vol. 21, No. 12 (1982), 1007-1015
- [Vo82b] R. Vollmar  
Zur Zustandsänderungskomplexität von Zellularautomaten  
Informatik-Skripten 2, TU Braunschweig (1982), 139-151
- [Vo84] R. Vollmar  
Einige Bemerkungen zur Zustandsänderungskomplexität von Polyauto-  
maten  
Informatik-Skripten 6, TU Braunschweig (1984), 146-151
- [Vo87] R. Vollmar  
Some remarks on pipeline processing by cellular automata  
Computers and Artificial Intelligence, Vol. 6, No. 3 (1987), 263-278